

机械加工中的振动問題

屈維德等著

高等教育出版社

本书是昆明工学院机械系机械振动科研小组从 1954 年以来对“机械加工中的振动”问题的一部分研究报告的汇编。

本书包括研究论文十二篇及苏联哈尔科夫工学院力学教研组 J. H. 史坚伏里夫副教授对屈维德著“冲击消振原理”一文的评述。“冲击消振原理”一文说明了冲击式消振器的工作原理及其应用，并导出了振幅和频率的必要公式。“镗杆消振的试验研究初步情况报告”一文提出了几种新的可能形式的扭转消振器结构。“车床测力仪的设计及其振动的消除”一文提出了一种新型的结构简单的机械式车床测力仪的设计，并介绍了冲击消振器的实际应用情况。这对研究车床切削力问题有所帮助。“振动送料装置”一文研究了振动的利用问题。其他几篇论文分别讨论了某些因素对振动或消振过程的作用和影响。所有这些论文都有一定的理论分析和试验结果，并且都有不同程度的创造性。它们对于了解消振问题有一定的帮助。

本书可供高等工业学校机械类专业师生在机械加工方面的教学中参考，并可供有关工程技术人员及科学研究人员阅读。

机械加工中的振动問題

屈维德等著

高等教育出版社出版 (北京宣武门内永康寺7号)

(北京市书刊营业登记证字第 054 号)

京华印书局印装 新华书店发行

统一书号 15010·840 大32 开本 850×1108 1/32 印张 4⁴/16

字数 96,000 印数 0001—4,000 定价 (7) 元 0.60

1959年12月第1版 1959年12月北京第1次印刷

序

自从 1954 年昆明工学院成立时起，我院和附近的机械厂，尤其是和昆明机床厂的联系和合作日益密切，从他们那里搜集了一些生产上尚待解决的问题：如铰孔不光、细长件的高速切削、精密机床的地基和镗床及镗杆的振动问题等，这些都属于金属切削过程中的振动问题及机械振动问题。另外，由于当时教学上急需，我院屈维德教授曾设计并赶制了一种结构简单的机械式测力仪，试用该测力仪时发现在某种切削用量之下，测力仪产生显著的振动。由于教学和生产上的需要，屈维德教授首先开始研究机械振动及金属切削过程中的自激振动问题，并在其指导下成立了机械振动科研小组。本书的几篇文章是该小组几年来研究报告的一部分。

屈维德教授几年来曾对冲击消振问题进行了研究，他在“冲击消振原理”一文里首先提出冲击消振问题计算的理论基础。这方面部分摘要曾在今年 2 月号苏联“机床与工具”杂志上发表过。因此在 1958 年大跃进时，在他的倡议和帮助下，机械振动科研小组围绕冲击消振问题进行了许多工作，本书的“镗杆消振的试验研究初步情况报告”、“冲击作用对旋转件振幅的影响”、“冲击时接触形状对跃回状态的影响”、“硬度与恢复系数的关系”几篇文章就是这方面工作的一个小结。值得提出的是，除上述第一篇文章的作者是教师外，其余各篇文章的作者都是学生。他们在党的领导下，在教学相长的原则下，采用师生结合的方法共同进行研究，在科学的研究工作中取得了不少成绩。因此，在云南省和全国召开的青年社会主义建设积极分子大会上都荣获“先进集体”的光荣称号并获得奖状奖旗。

“車床測力仪的設計及其振动的消除”一文是作者在 1956 年写的，該文提出了一种結構簡單的机械式測力仪并介紹了作者設計的冲击消振器实际应用的情况。該文当时曾以油印稿散发各有关学校和厂矿，引起了普遍的兴趣，某些厂矿并用之于生产实际中。正式出版时曾請原作者对原文作了較仔細的修改。

由于目前关于冲击消振問題的資料不多，編入本书的有关研究报告將有較大的参考价值。

“速度对摩擦自振的影响”一文的作者是学生，本书出版时他們已离开了学校，为此我們請王洪綱等同志对該文作了重要的补充，根据他們新实验結果另写“摩擦摆的自激振动”一文，一并汇編在本书里。这两篇文章都是根据实验找出摩擦自振的規律，有助于进一步了解引起車刀振动的实质問題。

除了研究消除振动(冲击消振、摩擦消振)外，本书还搜集了“振动送料装置”一文，作为研究利用振动的开始。該文在今年一月号“机床与工具”杂志上发表后曾引起各有关方面的兴趣，轉載时曾請原作者对原文作了修改和重要的补充。

为使閲讀本书不发生困难，我們請屈維德同志写了“鏜杆和車刀的固有振动頻率的計算”一文。

为了感謝苏联同志、特別是哈尔科夫工学院力学教研組 I. M. 包巴科夫教授、J. II. 史堅伏里夫副教授对我们机械振动科研小組工作的热情关怀，在本书里轉譯了发表在苏联“机床与工具”上屈維德教授写的“冲击消振器”一文和 J. II. 史堅伏里夫副教授对屈維德教授“冲击消振原理”一文的評述。

最后希望讀者对本书各篇文章的內容提出批評意見，并直接寄往昆明工学院机械系机械振动科研小組收。

著者 1959. 8.

目 录

序	iii
鎗杆和車刀的固有振動頻率的計算	屈維德 1
冲击消振原理	屈維德 17
車床測力仪的設計及其振动的消除	屈維德 王洪綱 41
鎗杆消振的試驗研究初步情況報告	吳云峰 楊 榆 55
冲击作用对旋轉件振幅的影响	楊紹錚 徐賜書 62
冲击时接触形状对跃回状态的影响	胡朝良 江世棟 73
硬度与恢复系数的关系	張 澤 吳 銑 78
切斷刀的摩擦消振	娄乾成 81
速度对摩擦自振的影响	王兆芳 孙宗昶 92
摩擦摆的自激振动	王洪綱 熊心悅 袁建坤 99
振动送料装置	呂耀森 116
冲击消振器	屈維德 127
对屈維德同志的著作“冲击消振原理”的評述	Л. И. 史堅伏里夫 131

鏽杆和車刀的固有振动頻率的計算

屈 維 德

切削沒有沟槽的連續的被加工面时，鏽杆或車刀可能产生自振。根据實驗^①[3]、[4]、[5]、[6]，鏽杆或車刀的自振頻率接近于它的固有振动頻率。因此，有必要較准确地計算固有振动頻率。下述的計算法，是考慮到夾持部分的情况，通过靜力實驗，然后按實驗数据以計算鏽杆和車刀的固有振动頻率。首先設鏽杆或車刀的材料是組織均一的且各方向都有相同性質的。在彈性极限以内，它是完全服从虎克定律的。

(一) 橫向振动

如图 1，設 M 表示弯矩； Q 表示剪力； q 表示杆上每单位長度的載荷，包括杆本身的重量。

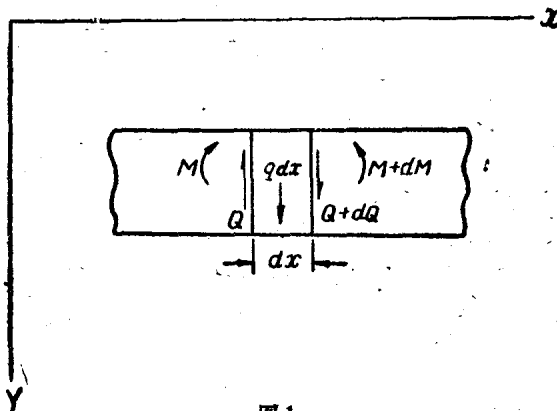


图 1.

① 方括弧內的数字系指参考书刊序目，下同。

在垂直方向 $dQ + qdx = 0,$ (1)

$$\frac{dQ}{dx} + q = 0. \quad (2)$$

取图1所示梁的一小段，其长度为 dx ，对右侧一点的力矩公式为

$$dM - Qdx + \left(\frac{1}{2}qdx\right)dx = 0. \quad (3)$$

由材料力学，知

$$\frac{dM}{dx} = Q; \quad (4)$$

$$\frac{d^2M}{dx^2} = \frac{dQ}{dx}. \quad (5)$$

由式(2)与(5)得

$$\frac{d^2M}{dx^2} = -q. \quad (6)$$

设 E 表示刀杆材料的弹性模数； J_1 表示刀杆横剖面对此剖面的中轴的惯矩。

由材料力学，知

$$M = EJ_1 \frac{d^2y}{dx^2}; \quad (7)$$

$$\begin{aligned} \frac{d^2M}{dx^2} &= \frac{d^2}{dx^2} \left(EJ_1 \frac{d^2y}{dx^2} \right); \\ &= EJ_1 \frac{d^4y}{dx^4}. \end{aligned} \quad (8)$$

此杆在它本身的质量作用之下振动。可设想此杆受其本身的质量与加速度所构成的惯性力的作用。

设 A 表示杆的横剖面积； γ 表示杆的材料单位体积的重量； g 表示重力加速度。

则此杆每单位长度的质量为 $\frac{A\gamma}{g}.$

又設这一小段的加速度為 $\frac{d^2y}{dt^2}$, 則此杆每單位長度的慣性力
為 $\frac{A\gamma}{g} \left(\frac{d^2y}{dt^2} \right)$.

設 ω 表示圓頻率; t 表示時間; Y 表示此小段作簡諧運動所
顯示的振幅,

則

$$y = Y \sin \omega t; \quad (9)$$

$$\frac{dy}{dt} = \omega Y \cos \omega t; \quad (10)$$

$$\frac{d^2y}{dt^2} = -\omega^2 Y \sin \omega t. \quad (11)$$

由式(9)得

$$\frac{d^2y}{dt^2} = -\omega^2 y; \quad (12)$$

$$\frac{A\gamma}{g} \left(\frac{d^2y}{dt^2} \right) = -\frac{A\gamma}{g} \omega^2 y. \quad (13)$$

這慣性力應等於 q , 由式(6)及(13)得

$$\frac{d^2M}{dx^2} = \frac{A\gamma}{g} \omega^2 y. \quad (14)$$

由式(8)與(14)得

$$EJ_1 \frac{d^4y}{dx^4} = \frac{A\gamma}{g} \omega^2 y; \quad (15)$$

$$\frac{d^4y}{dx^4} - \frac{A\gamma \omega^2}{g E J_1} y = 0. \quad (16)$$

設

$$\alpha^4 = \frac{A\gamma \omega^2}{g E J_1},$$

則式(16)變為

$$\frac{d^4y}{dx^4} - \alpha^4 y = 0. \quad (17)$$

設 D 表示運算子，則

$$\begin{aligned}(D^4 - \alpha^4)y &= 0; \\ (D^2 - \alpha^2)(D^2 + \alpha^2)y &= 0; \\ (D - \alpha)(D + \alpha)(D - i\alpha)(D + i\alpha)y &= 0.\end{aligned}\quad (18)$$

方程(18)的根為： $\alpha, -\alpha, i\alpha, -i\alpha$ ，

$$\begin{aligned}y &= A_1 e^{\alpha x} + B_1 e^{-\alpha x} + C_1 e^{i\alpha x} + D_1 e^{-i\alpha x} \\ &= A_1 (\cosh \alpha x + \sinh \alpha x) + B_1 (\cosh \alpha x - \sinh \alpha x) + \\ &\quad + C_1 (\cos \alpha x + i \sin \alpha x) + D_1 (\cos \alpha x - i \sin \alpha x) = \\ &= (A_1 + B_1) \cosh \alpha x + (A_1 - B_1) \sinh \alpha x + \\ &\quad + (C_1 + D_1) \cos \alpha x + (C_1 - D_1) i \sin \alpha x \\ &= a_1 \cosh \alpha x + b_1 \sinh \alpha x + c_1 \cos \alpha x + d_1 \sin \alpha x.\end{aligned}\quad (20)$$

設 $a_1 = A_1 + B_1$;

$b_1 = A_1 - B_1$;

$c_1 = C_1 + D_1$;

$d_1 = (C_1 - D_1)i$.

鏜杆或車刀可看作懸臂梁，它的邊界條件如下：

$$\text{在 } x=0 \text{ 处, } y=0; \quad (21)$$

$$\text{在 } x=0 \text{ 处, } \frac{dy}{dx}=0; \quad (22)$$

$$\text{在 } x=l \text{ 处, } M=0, \text{ 亦即 } \frac{d^2y}{dx^2}=0; \quad (23)$$

$$\text{在 } x=l \text{ 处, } V=\frac{dM}{dx}=\frac{d^3y}{dx^3}=0 \quad (24)$$

(參看圖 2)。

又因

$$\cosh 0 = 1;$$

$$\sinh 0 = 0,$$

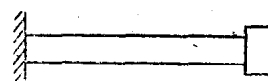


圖 2.

$$\text{由式(20)与(21)得 } a_1 + c_1 = 0; \quad (25)$$

$$d(\sinh ax) = a \cosh ax dx;$$

$$d(\cosh ax) = a \sinh ax dx.$$

由式(20)得

$$\frac{dy}{dx} = a[a_1 \sinh(ax) + b_1 \cosh(ax) - c_1 \sin(ax) + d_1 \cos(ax)].$$

由式(22)得

$$0 = a[0 + b_1 - 0 + a_1].$$

$$b_1 = -a_1 \quad (26)$$

由式(20)得

$$\frac{d^2y}{dx^2} = a^2[a_1 \cosh ax + b_1 \sinh ax - c_1 \cos ax - d_1 \sin ax]. \quad (27)$$

由式(27)得

$$\frac{d^3y}{dx^3} = a^3[a_1 \sinh ax + b_1 \cosh ax + c_1 \sin ax - d_1 \cos ax]. \quad (28)$$

由式(23), (25), (26)及(27)得

$$a_1(\cosh al + \cos al) = -b_1(\sinh al + \sin al). \quad (29)$$

由式(24)与(28)得

$$a_1(\sinh al - \sin al) = -b_1(\cosh al + \cos al). \quad (30)$$

由式(29)、(30)相除得

$$\frac{\cosh al + \cos al}{\sinh al - \sin al} = \frac{\sinh al + \sin al}{\cosh al + \cos al},$$

$$(\cosh al + \cos al)^2 = (\sinh al - \sin al)(\sinh al + \sin al),$$

$$\cosh^2 al + 2\cosh al \cos al + \cos^2 al = \sinh^2 al - \sin^2 al,$$

$$2\cosh al \cos al + (\cosh^2 al - \sinh^2 al) + (\sin^2 al + \cos^2 al) = 0,$$

$$2\cosh al \cos al + 1 = 0,$$

$$\cosh al \cos al + 1 = 0, \quad (31)$$

$$al = 1.875 \text{ 或 } 4.695. \quad (32)$$

参考式(17), 得

$$\begin{aligned}\omega^2 &= \alpha^4 \frac{gEJ_1}{A\gamma}, \\ \omega &= \alpha^2 \sqrt{\frac{gEJ_1}{A\gamma}} \\ &= \frac{(\alpha l)^2}{l^2} \sqrt{\frac{gEJ_1}{A\gamma}}.\end{aligned}\quad (33)$$

由式(32)与(33)得

$$\omega_1 = \frac{(1.875)^2}{l^2} \sqrt{\frac{gEJ_1}{A\gamma}}, \quad (34)$$

上式即表示第一种方式的固有振动频率。

由式(32)与(33)得

$$\omega_2 = \frac{(4.695)^2}{l^2} \sqrt{\frac{gEJ_1}{A\gamma}}. \quad (35)$$

即表示第二种方式的固有振动频率。

由式(34)与(35)得

$$\omega_2 = \left(\frac{4.695}{1.875} \right)^2 \omega_1 = 6.25 \omega_1. \quad (36)$$

由式(34)得

$$\omega_1 = \sqrt{12.4 \left(\frac{1}{lA\gamma} \right) \frac{EJ_1}{l^3}}, \quad (37)$$

式中 $\frac{lA\gamma}{g}$ 即等于镗杆或车刀外伸部分的质量 m 。

一水平悬臂梁的自由端受一垂直力 P , 则自由端的挠度为

$$\frac{Pl^3}{3EJ_1}.$$

$$\text{此悬臂梁的自由端的刚度 } c = \frac{P}{Pl^3} = \frac{3EJ_1}{l^3}. \quad (38)$$

由式(37)与(38)得

$$\omega_1 = \sqrt{\frac{c}{\left(\frac{m}{4.13}\right)}} \quad (39)$$

設 m_1 表示計算質量,

$$m_1 = \frac{m}{4.13} \quad (40)$$

悬臂梁的另一端是固定端。結合鏜杆的實際情形，即為剛固的鏜杆支承。如以拉杆拉緊鏜杆的錐柄于 C620 型車床的主軸錐孔內，可視為剛固的鏜杆支承。鏜杆自由端的實測剛度，應與式(38)所示的相符。式(39)可改為

$$\omega_1 = \sqrt{\frac{\text{實測剛度}}{\text{計算質量}}} \quad \text{弧度/秒}; \quad (41)$$

$$f_1 = \frac{1}{2\pi} \sqrt{\frac{\text{實測剛度}}{\text{計算質量}}} \quad \text{循環/秒}. \quad (42)$$

例 1 有一 3.5 厘米直徑的鋼制鏜杆，以拉杆裝于 C620 型車床的主軸上。此鏜杆的外伸長度為 24.5 厘米。當此鏜杆作橫向自由振動時，其第一種方式的固有振動頻率為若干？第二種方式的固有振動頻率為若干？

$$\text{由式(38)得 } C = \frac{3EJ_1}{l^3}$$

$$= \frac{3 \times 2.1 \times 10^6 \times \frac{\pi}{64} \times 3.5^4}{24.5^3}$$

$$= 3120 \text{ 公斤/厘米}.$$

$$\begin{aligned} \text{此鏜杆外伸部分的重量} &= \pi 1.75^2 \times 24.5 \times 7.8 \\ &= 1840 \text{ 克} \\ &= 1.84 \text{ 公斤}. \end{aligned}$$

由式(40)得

$$m_1 = \frac{1.84}{4.13 \times 980} = 0.000455 \frac{\text{公斤} \cdot \text{秒}^2}{\text{厘米}}$$

由式(39)得

$$\omega_1 = \sqrt{\frac{3120}{0.000455}} = 2620 \text{ 弧度/秒}。$$

由式(36)得 $\omega_2 = 6.25(2620) = 16400 \text{ 弧度/秒}$;

$$f_1 = \frac{2620}{2\pi} = 418 \text{ 循环/秒};$$

$$f_2 = \frac{16400}{2\pi} = 2610 \text{ 循环/秒}。$$

例 2 有一 20×30 毫米鋼質車刀体，夹于車床四方刀架上，外伸长度为 80 毫米。夹好后实测得它的自由端的剛度为 2800 公斤/毫米。求此車刀在垂直方向的固有振动頻率。

实測剛度 = 28000 公斤/厘米。

外伸部分的重量 = $2 \times 3 \times 8 \times 7.8 = 374$ 克即 0.374 公斤。

由式(40)得

$$\text{計算質量} = \frac{0.374}{4.13 \times 980} = 0.0000925 \frac{\text{公斤}\cdot\text{秒}}{\text{厘米}}。$$

由式(42)得

$$f_1 = \frac{1}{2\pi} \sqrt{\frac{28000}{0.0000925}} = 2770 \text{ 循环/秒}。$$

例 3 設有一大头鏜杆，杆体的直徑为 35 毫米，杆体的外伸长度为 245 毫米，杆头的直徑为 55 毫米，杆头的长度为 50 毫米，实測得(夹好后)杆头与杆体交界处的剛度为 310 公斤/毫米。求此鏜杆的横向固有振动頻率(参看图 2)。

实測剛度 = 3100 公斤/厘米。

由例 1 知杆体的計算質量为 $0.000455 \frac{\text{公斤}\cdot\text{秒}^2}{\text{厘米}}$ 。

杆头重量 = $\pi \times 2.75^2 \times 5 \times 7.8 = 928$ 克 = 0.928 公斤。

杆头的质量 = $\frac{0.928}{980} = 0.000946 \frac{\text{公斤}\cdot\text{秒}^2}{\text{厘米}}$ 。

总的計算質量 = (杆体的計算質量) + (杆头的质量)

$$= 0.000455 + 0.000946$$

$$= 0.001401 \frac{\text{公斤秒}}{\text{厘米}}。$$

由式(42)得

$$f = \frac{1}{2\pi} \sqrt{\frac{3100}{0.001401}} = 238 \text{ 循环/秒。}$$

(二) 扭轉振动

如图 3, $M_{\text{#}}$ 表示扭矩; θ 表示扭轉角; $d\theta$ 表示长度为 dx 一段的扭轉角; G 表示剪切彈性模数。

由材料力学知,

$$d\theta = \frac{M_{\text{#}} dx}{J_{\text{#}} G}; \quad (43)$$

$$M_{\text{#}} = J_{\text{#}} G \frac{d\theta}{dx}, \quad (44)$$

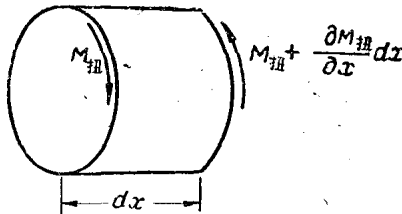


图 3.

式中 $J_{\text{#}}$ 表示刀杆横剖面对刀杆的轉軸的慣矩。

$$\text{刀杆每单位长度所受的扭矩 } \frac{\partial M_{\text{#}}}{\partial x} = J_{\text{#}} G \frac{\partial^2 \theta}{\partial x^2}. \quad (45)$$

$$dx \text{ 一段所受的扭矩 } \frac{\partial M_{\text{#}}}{\partial x} dx = J_{\text{#}} G \frac{\partial^2 \theta}{\partial x^2} dx. \quad (46)$$

dx 一段所受的扭矩又等于此段的轉动慣量 $J_{\text{#}}$ 与角加速度 $\ddot{\theta}$ 的乘积:

$$\begin{aligned} J \ddot{\theta} &= \dot{\theta} \int r^2 dM \\ &= \dot{\theta} \frac{\gamma}{g} \int r^2 dA dx \\ &= \dot{\theta} \frac{\gamma}{g} J_{\text{#}} dx. \end{aligned} \quad (47)$$

由式(47)与(46)得

$$\left(\frac{\partial^2 \theta}{\partial t^2}\right) \frac{\gamma}{g} J_{\#} dx = J_{\#} G \frac{\partial^2 \theta}{\partial x^2} dx.$$

$$\frac{\partial^2 \theta}{\partial t^2} = \frac{Gg}{\gamma} \frac{\partial^2 \theta}{\partial x^2}. \quad (48)$$

參看[1]第五十节, 設 $a^2 = \frac{Gg}{\gamma}$, (49)

a 表示扭轉波沿圓柱形杆傳播的速度, 參看[2]第三章第二节。

式(48)的輔助方程为 $(m^2 - a^2) = 0$, (50)

得 m 的两个根为 a 和 $-a$,

$$\theta = F_1(x+at) + F_2(x-at), \quad (51)$$

$F_1(x+at)$ 及 $F_2(x-at)$ 是 x, t 的函数。

設 $F_1(x+at) = R_1 \cos \left[\frac{\omega}{a}(x+at) \right];$

$$F_2(x-at) = R_2 \cos \left[\frac{\omega}{a}(x-at) \right],$$

代入式(51)得

$$\begin{aligned} \theta_1 &= R_1 \left\{ \cos \left[\frac{\omega}{a}(x+at) \right] + \cos \left[\frac{\omega}{a}(x-at) \right] \right\} \\ &= R_1 \left\{ \cos \left(\frac{\omega x}{a} + \omega t \right) + \cos \left(\frac{\omega x}{a} - \omega t \right) \right\} \\ &= R_1 \left\{ \cos \frac{\omega x}{a} \cos \omega t - \sin \frac{\omega x}{a} \sin \omega t + \right. \\ &\quad \left. \cos \frac{\omega x}{a} \cos \omega t + \sin \frac{\omega x}{a} \sin \omega t \right\} \\ &= 2R_1 \cos \frac{\omega x}{a} \cos \omega t. \end{aligned} \quad (52)$$

又設

$$F_1(x+at) = R_2 \sin \left[\frac{\omega}{a}(x+at) \right];$$

$$F_2(x-at) = R_2 \sin \left[\frac{\omega}{a} (x-at) \right],$$

代入式(51)得

$$\begin{aligned}\theta_2 &= R_2 \left\{ \sin \left[\frac{\omega x}{a} + \omega t \right] + \sin \left[\frac{\omega x}{a} - \omega t \right] \right\} \\ &= 2R_2 \sin \frac{\omega x}{a} \cos \omega t.\end{aligned}\quad (53)$$

式(52)及(53)均属于 $\theta = f(x) \cos \omega t$ (54)
的类型。式(54)的 $f(x)$ 是 x 的函数。以式(49)的 a 值及(54)的
 θ 值代入式(48)得

$$\begin{aligned}\frac{\partial^2}{\partial t^2} \left[f(x) \cos \omega t \right] &= a^2 \frac{\partial^2}{\partial x^2} \left[f(x) \cos \omega t \right]; \\ -\omega^2 f(x) \cos \omega t &= a^2 \cos \omega t \frac{\partial^2 f(x)}{\partial x^2}; \\ -\omega^2 f(x) &= a^2 \frac{d^2 f(x)}{dx^2}; \\ \frac{d^2 f(x)}{dx^2} + \frac{\omega^2}{a^2} f(x) &= 0.\end{aligned}\quad (55)$$

式(55)的解为

$$f(x) = A_1 \sin \frac{\omega x}{a} + B_1 \cos \frac{\omega x}{a}, \quad (56)$$

代入式(54)得

$$\theta = \left(A_1 \sin \frac{\omega x}{a} + B_1 \cos \frac{\omega x}{a} \right) \cos \omega t. \quad (57)$$

二阶微分方程的一般解应有两个任意常数，而式(57)确具有两个任意常数 A_1 和 B_1 。式(57)是式(48)的一个一般解。若 $2R_2 = A_1$ ， $2R_1 = B_1$ ，则可以说，式(57)是由式(52)及(53)所构成的。

当刀杆的一端是固定端，另一端是自由端，其边界条件如下：

$$\text{当 } x=0, \quad \theta=0; \quad (58)$$

$$\text{当 } x=l, \quad M_{\text{固}}=0. \quad (59)$$

以式(58)的 x, θ 值代入式(57), 得

$$0 + B_1 \cos 0^\circ \cos \omega t = 0,$$

故

$$B_1 = 0. \quad (60)$$

由式(44)得

$$M_{\text{固}} = J_{\text{杆}} G \frac{\partial \theta}{\partial x},$$

因为

$$M_{\text{固}} = 0,$$

故

$$\frac{\partial \theta}{\partial x} = 0. \quad (61)$$

由式(57)及(61)得

$$\left(\frac{\partial \theta}{\partial x} \right)_{x=l} = A_1 \frac{\omega}{a} \cos \frac{\omega l}{a} = 0,$$

$$\cos \frac{\omega l}{a} = 0,$$

解之得 $\frac{\omega l}{a}$ 的值为 $\frac{\pi}{2}$, $\left(\pi + \frac{\pi}{2}\right)$, ..., $\left(n + \frac{1}{2}\right)\pi$,

$$\omega = \left(n + \frac{1}{2}\right) \pi \frac{a}{l}, \quad (62)$$

n 为零或正整数。

$$f = \left(n + \frac{1}{2}\right) \frac{a}{2l}. \quad (63)$$

钢制刀杆的 $G = 8.45(10)^5$ 公斤/厘米²;

$$\gamma = \frac{7.8}{1000} \text{ 公斤/厘米}^2;$$

$$g = 980 \text{ 厘米/秒}^2,$$

由式(49)得

$$a = \sqrt{\frac{8.45(10)^5 \times 1000 \times 980}{7.8}} = 326000 \text{ 厘米/秒}$$

第一种方式振动的 $n=0$,

由式(63)得